

Письма в ЖТФ, том 15, вып. 17
04; 09

12 сентября 1989 г.

ПЛАЗМЕННО-ВОЛНОВОЙ РАЗРЯД В ИОНОСФЕРЕ ЗЕМЛИ

Ю.Н. Агафонов, А.П. Бабаев,
В.С. Бажанов, В.Я. Исякаев,
Г.А. Марков, С.А. Намазов,
А.А. Покунков, Ю.В. Чугунов

Впервые осуществлен и исследован волновой разряд в ионосфере Земли, формируемый полем излучения бортовой дипольной антенны на частотах покального плазменного резонанса для косых пентоморовских волн. Подобного типа разряды, формируемые в результате развития ионизационной неустойчивости и самоканализирования пакета плазменных волн, наблюдались в лабораторных экспериментах [1] и были предложены в [2] в качестве средства модификации покальных параметров ионосферной плазмы.

Эксперимент был реализован запуском метеоракеты МР-12 в средней и полярной ионосфере. В качестве ВЧ источника была использована антenna плазменных волн в виде проволочного кольца диаметром 2 м, поднятого штангой-держателем на 1.5–2 м над головной частью ракеты. Для возбуждения волновых полей в данном эксперименте ВЧ напряжение амплитудой ~ 1 кВ на частоте $f = 480$ кГц подводилось между корпусом ракеты и возбуждающим кольцом. ВЧ сигнал модулировался частотами 240 и 960 Гц по специальной циклограмме. Для диагностики использовались бортовые приборы: автоколебательный зонд, фотометр, счетчики электронов и ионов с энергией ≥ 3 кэВ, анализатор низких частот, датчики магнитного поля и ряд других. Кроме этого, в эксперименте в средних широтах осуществлялся наземный прием радиоизлучения в широком диапазоне частот и оптического свечения разряда, которое наблюдалось при подъеме ракеты на высотах ~ 60 –80 км.

© Издательство „Наука“, „Письма в Журнал технической физики“, 1989 г.

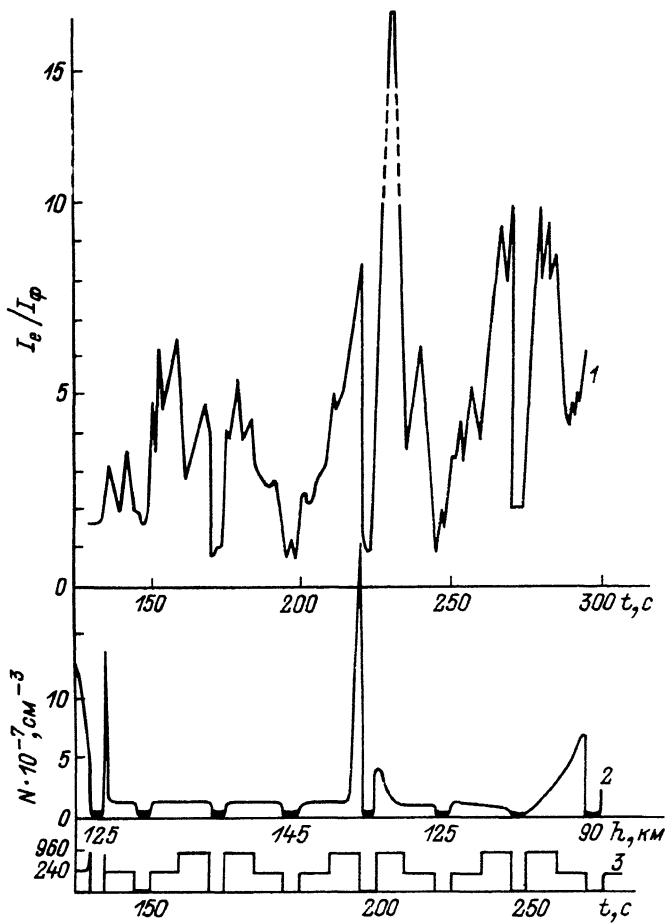


Рис. 1. Результаты эксперимента в средних широтах. Стимулированные работой ВЧ источника изменения потока электронов с энергией $\epsilon_e \geq 2.2$ кэВ (1) и плотности плазмы на расстоянии ~ 1 м от головной части ракеты (2) в зависимости от времени полета t . Циклограмма работы ВЧ генератора (3).

На рис. 1 приведены графики, отражающие изменения потоков быстрых электронов $I_e(t)$ с энергией $\epsilon_e \geq 2.2$ кэВ относительно уровня фона I_ϕ (кривая 1) и концентрации плазмы $N(t)$ (кривая 2) в окрестности ракеты во время полета в условиях спокойной ночной ионосферы средних широт. Там же проставлены контрольные высоты h и приведена циклограмма работы ВЧ генератора (3), в которой верхний уровень соответствовал модуляции с частотой 960 Гц, средний – модуляции с частотой 240 Гц, нижний уровень означал паузу в работе генератора. Полное раскрытие антенны произошло на 128 с (из-за задержки схода одной из створок обте-

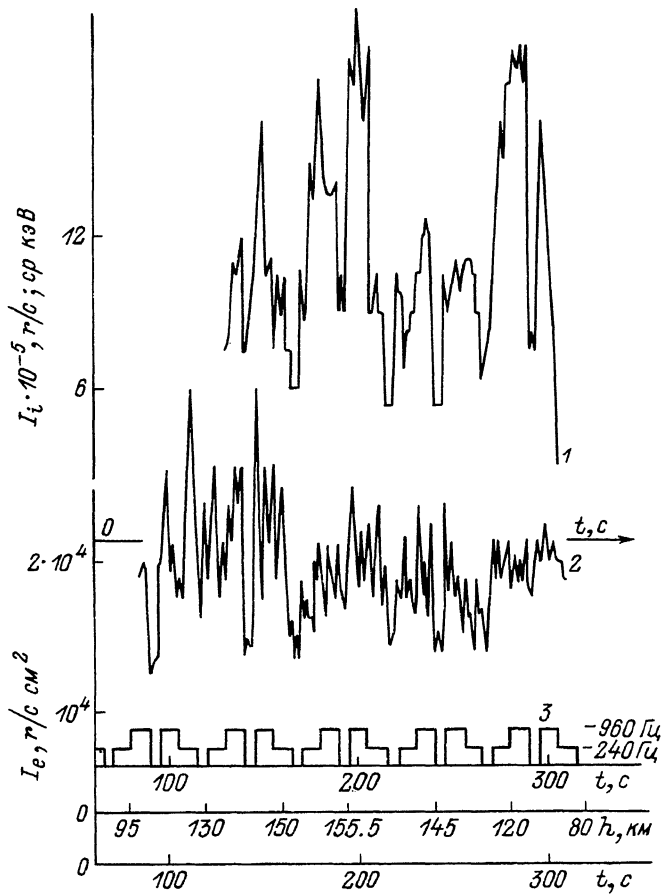


Рис. 2. Результаты эксперимента в полярных широтах. Стимулированные работой ВЧ источника изменения потоков ионов с энергией $E_i \geq 3.5$ кэВ (1) и электронов с энергией $E_e \geq 40$ кэВ (2) в зависимости от времени полета t . Циклограмма работы ВЧ генератора (3).

кателя) и сопровождалась, по-видимому, кратковременным замыканием выхода генератора на корпус, что привело к срыву генерации и образованию в результате дугового разряда газового облака. Пик $N(t)$ при $t \approx 134$ с обусловлен ионизацией этого газа полем антенны. После раскрытия антенны разряд перешел в нормальную фазу. Концентрация в разряде четко отражала циклограмму работы генератора, а ее величина достигала значений $\geq 10^7$ см⁻³. На 218 с полета на высоте $h \approx 140$ км был произведен специальный напуск ~ 6 г воздуха в сторону антенны. За время выброса $\tau_h \sim \sim 10$ с в ионосфере образовалась газовая неоднородность с масшта-

бом $L \sim 45 Z_H \sim 5$ км (v_S — скорость звука), в которой был сформирован вытянутый вдоль геомагнитного поля плазменно-волновой канал; концентрация в разряде при этом возросла до значений $N > 10^8$ см⁻³, резко увеличились потоки ускоренных электронов и мощность, отдаваемая ВЧ-генератором в плазму.

О вытянутости вдоль геомагнитного поля формируемой при разряде плазменной неоднородности свидетельствовала модуляция сигналов с фотометра, обусловленная вращением ракеты, в результате которого блендингющее устройство ФЭУ просматривало либо большую, либо меньшую часть плазменного столба.

Подтверждением факта образования сильно вытянутого плазменно-волнового разряда являются сдвиги по времени максимумов потоков быстрых электронов I_e (рис. 1) относительно максимумов $N(\xi)$, связанных с напуском газа на 128 и 218 с. Достаточно интенсивные по сравнению с фоном потоки электронов с энергией $\epsilon_e > 2.2$ кэВ могут формироваться в протяженных волновых каналах за счет захвата и ускорения частиц полем косых ленгмюровских волн. Поэтому при включении генератора плотность электронов с большой энергией возрасала в несколько раз. Величина вкладываемой в разряд ВЧ мощности заметно зависела от давления газа и на высотах $h < 100$ км составляла в среднем величину ~ 0.5 кВт, на высотах $h > 180$ км величину < 0.3 кВт и резко увеличивалась до значения ~ 0.6 кВт при напуске газа.

Запуск ракеты на широте 68° N и 0 долготе происходил в период сильного магнитного возмущения. В этих условиях энергетика плазменно-волнового разряда, по-видимому, оказалась достаточной для стимулирования в ионосфере широкого спектра шумовых сигналов и ускоренных частиц в широком интервале энергий. Записи сигналов телеметрической системы „Трал”, например, зафиксировали резкое увеличение и синхронизацию числа сбоев телеметрии с режимом работы ВЧ источника (увеличение шума при включении передатчика и его постепенное уменьшение во время пауз). Приемники спутника „Аркад-3” зафиксировали резкий рост НЧ шумов при работе источника на высотах $h > 100$ км.

На рис. 2 приведены кривые, показывающие изменения за время полета плотности потока ионов $I_i(t)$ с энергией $\epsilon_i > 3.5$ кэВ (1) и электронов $I_e(t)$ с энергией $\epsilon_e > 40$ кэВ (2). Кривые демонстрируют существенное изменение потока быстрых частиц по сравнению с фоновым значением и корреляцию этих изменений с циклограммой (3) работы ВЧ-передатчика. Как правило при частоте модуляции $f_M = 960$ Гц наблюдалось более резкие изменения потоков быстрых частиц.

Влияние разряда на электроны с энергией $\epsilon_e > 40$ кэВ свидетельствует об эффективности ускорения частиц в плазменно-волновом канале, а модуляция потока частиц с периодом (3-4) с несет информацию о собственных частотах глобальных ионосферных резонансов [3].

Проведенные ракетные эксперименты показали, что при сравнительной простоте возбуждения плазменно-волновой разряд легко реа-

лизуется в нижних слоях ионосферы Земли, а при напуске газа возможен и на более больших высотах. При этом возможны сильные локальные возмущения окружающей плазмы, которые можно использовать для стимулирования некоторых геомагнитных возмущений (особенно в полярной ионосфере) в качестве дополнительных средств диагностики ионосферной плазмы и для решения ряда других прикладных вопросов.

Список литературы

- [1] Марков Г.А., Миронов В.А., Сергеев А.М. // Письма в ЖЭТФ. 1979. Т. 29. В. 21. С. 672-676.
- [2] Марков Г.А., Попова Л.Л., Чугунов Ю.В. // Письма в ЖТФ. 1985. Т. 11. В. 23. С. 1465-1469.
- [3] Беляев П.П., Поляков С.В., Рапорт В.О., Трахтенгерц В.Ю. // Доклады АН СССР. 1987. Т. 297. №4. С. 840-843.

Горьковский государственный университет
им. Н.И. Лобачевского

Поступило в Редакцию
7 июня 1989 г.

Письма в ЖТФ, том 15, вып. 17

12 сентября 1989 г.

05.3; 07

ДВУХФАЗНАЯ СИСТЕМА В ПОЛЕ ЛАЗЕРНОГО ИЗЛУЧЕНИЯ

С.Н. Климин, В.В. Сереженту,
И.И. Жеру, И.Г. Лупя

Тепловое воздействие лазерного излучения на вещество во многом отличается от нагрева внешними источниками тепла. Например, в многофазных системах излучение может избирательно нагревать какие-либо фазы, что приводит к специфическим формам самоорганизации.

В [1] исследован процесс выпадения растворенного вещества из пересыщенного раствора. Рассматривая кинетику таких систем на стадии коалесценции в присутствии электромагнитного излучения в рамках приближений, сделанных в [1], предположим, что излучение поглощается только в зернах растворяемого вещества. Концентрация определяется как объем вещества, растворенного в единичном объеме раствора. Обозначим через c и T соответственно концентрацию и температуру на большом удалении от зерна. Диффузионный поток растворенного вещества задается выражением

$$j(r) = D(r) \left[\frac{\partial c(r)}{\partial r} - \frac{Qc(r)}{T^2(r)} \frac{\partial T(r)}{\partial r} \right], \quad (1)$$